

## РІВНОВАГА НЕСТИСЛИВОГО ПІВПРОСТОРУ, ПОСЛАБЛЕНого ДВОМА V-ПОДІБНИМИ ПРИПОВЕРХНЕВИМИ ТРІЩИНАМИ, ЩО МАЮТЬ СПІЛЬНУ ВЕРШИНУ

Розглянуто задачу про визначення характеру поведінки напруженъ у нестисливому півпросторі з двома приповерхневими V-подібними (клиноподібними) тріщинами, які мають спільну вершину та лежать у площині, перпендикулярній до поверхні півпростору. На основі отриманих результатів встановлено, що локальна поведінка напруженъ при підході до вершини тріщин суттєво залежить від геометричних параметрів тріщин.

**1. Вступ.** Вивчення задач математичної теорії пружності для тіл, що мають різноманітні внутрішні та приповерхневі дефекти, має певний науково-практичний інтерес, оскільки поблизу цих дефектів відбувається концентрація напруженъ, яка може стати причиною руйнування тіла. Для передбачення процесу руйнування необхідно знати характер поведінки напруженъ поблизу дефекту.

Аналізуючи роботи, в яких вивчаються задачі для просторових тіл із внутрішніми тріщинами [1, 6, 8, 10, 11, 19], можна зробити висновок, що при підході до гладкої точки фронту тріщини напруженъ мають класичну кореневу особливість. Якщо розглядати поведінку напруженъ поблизу кутової точки фронту тріщини, то в цьому випадку локальна особливість напруженъ залежить від локальної геометрії тріщини, тобто в залежності від кута, який утворюється ребрами тріщини у негладкій точці фронту, локальна особливість може бути сильнішою від класичної кореневої, а може бути і слабшою. Аналогічна ситуація спостерігається і при розгляді задачі про визначення напруженъ у тілі, що має приповерхневу тріщину [3, 5, 14–19], але результати мають свою особливість. Так, існують такі кути виходу ребра тріщини на поверхню тіла, при яких напруженъ у точці виходу ребра будуть обмеженими (немає концентрації напруженъ), а існують такі кути, при яких у цій точці напруженъ матимуть локальну особливість, яка може бути як слабшою від класичної кореневої, так і сильнішою.

Проведений аналіз робіт свідчить, що напруженено-деформований стан у тілах, що мають внутрішні та приповерхневі дефекти з нерегулярними (кутовими) точками, має суттєво тривимірний характер (особливо поблизу цих нерегулярних точок), і для вивчення особливостей пружних полів в околах таких точок доводиться розглядати задачі математичної теорії пружності саме у тривимірній постановці.

Нарешті зазначимо, що, незважаючи на значну кількість робіт, присвячених вивченю напруженено-деформованого стану в тілах з внутрішніми та приповерхневими тріщинами, незначна їх кількість присвячена розгляду задач для тіл, що мають дві й більше тріщин, що безпосередньо взаємодіють між собою, наприклад, мають спільні точки на фронтах. Ця робота присвячена дослідженю задачі про рівновагу пружного півпростору, послабленого двома приповерхневими V-подібними тріщинами, які лежать у площині, перпендикулярній до поверхні півпростору, та мають спільну точку виходу ребер на поверхню півпростору – мають спільну вершину (рис. 1). Основною метою роботи є визначення характеру поведінки напруженъ в околі вершини тріщин.

**2. Постановка задачі.** Нехай пружний півпростір займає область  $x > 0$ , а тріщини розміщені в площині  $y = 0$  і займають там двовимірні області  $\Sigma_{1,2}$ . Будемо вважати, що поверхня півпростору та стінки тріщин вільні від зовнішніх навантажень, а сам півпростір знаходиться під дією зовнішніх

розтягуючих навантажень, симетричних за координатою  $y$ . Очевидно, що у сформульованих припущеннях розв'язок задачі має бути симетричним за координатою  $y$ , і його досить шукати у чверті простору  $\Omega = \{x > 0, y > 0\}$ . Для досягнення основної мети роботи шукатимемо однорідні розв'язки задачі, які визначаються як нетривіальні розв'язки рівнянь рівноваги Ляме в області  $\Omega$ , що задовільняють такі змішані однорідні крайові умови:

$$\begin{aligned} \sigma_x|_{x=0} &= \tau_{xy}|_{x=0} = \tau_{xz}|_{x=0} = 0, \\ \sigma_y|_{y=0} &= 0, \quad \tau_{yx}|_{y=0} = \tau_{yz}|_{y=0} = 0, \quad (x, z) \in \Sigma_1 \cup \Sigma_2, \\ u_y|_{y=0} &= 0, \quad \tau_{yx}|_{y=0} = \tau_{yz}|_{y=0} = 0, \quad (x, z) \notin \Sigma_1 \cup \Sigma_2. \end{aligned} \quad (1)$$

Рис. 1

При цьому умови регулярності на нескінченості не ставляться.

Для відшукання однорідних розв'язків подамо вектор пружних зміщень у формі Папковича – Нейбера [12]

$$2Gu = 4(1 - v)(\mathbf{i}\Phi_1 + \mathbf{j}\Phi_2) - \text{grad}(x\Phi_1 + y\Phi_2 + \Phi), \quad (2)$$

де  $v$ ,  $G$  – коефіцієнт Пуассона та модуль зсуву пружного матеріалу;  $\mathbf{i}$ ,  $\mathbf{j}$  – орти осей  $Ox$  та  $Oy$  декартової системи координат;  $\Phi = (1 - 2v)(\Phi_1^* + \Phi_2^*)$ ,  $\Phi_{1,2}^*$ ,  $\Phi_1 = \frac{\partial \Phi_1^*}{\partial x}$ ,  $\Phi_2 = \frac{\partial \Phi_2^*}{\partial y}$  – гармонічні в області  $\Omega$  функції. З умови відсутності дотичних напружень при  $x = 0$  та при  $y = 0$  випливають умови

$$\frac{\partial \Phi_2}{\partial x}|_{x=0} = 0, \quad \frac{\partial \Phi_1}{\partial y}|_{y=0} = 0, \quad (3)$$

при цьому для нормальних напружень та зміщень мають місце рівності

$$\begin{aligned} \sigma_x|_{x=0} &= \frac{\partial}{\partial x} \left( \Phi_1 + \frac{\partial \Phi_2}{\partial \varphi} \right) \Big|_{x=0} + (1 - 2v) \frac{\partial^2 \Phi_2^*}{\partial z^2} \Big|_{x=0}, \\ \sigma_y|_{y=0} &= \frac{\partial}{\partial y} \left( \Phi_2 - \frac{\partial \Phi_1}{\partial \varphi} \right) \Big|_{y=0} + (1 - 2v) \frac{\partial^2 \Phi_1^*}{\partial z^2} \Big|_{y=0}, \\ 2Gu_y|_{y=0} &= 2(1 - v)\Phi_2 \Big|_{y=0}, \end{aligned} \quad (4)$$

де  $\varphi$  – кільцева координата сферичної або циліндричної систем координат [4].

Враховуючи геометрію тріщин (див. рис. 1) і те, що область  $\Omega$  являє собою просторовий клин з кутом розшилу граней  $\pi/2$ , розв'язування задачі зручно проводити у сферичних координатах  $\rho, \theta, \varphi$  [4], у яких

$$\Omega = \{\rho > 0, 0 < \theta < \pi, 0 < \varphi < \pi/2\},$$

$$\Sigma_1 = \{\rho > 0, 0 < \theta < \alpha, \varphi = 0\},$$

$$\Sigma_2 = \{\rho > 0, \pi - \beta < \theta < \pi, \varphi = 0\},$$

де  $\alpha > 0$ ,  $\beta > 0$ ,  $\alpha + \beta < \pi$ .

У випадку нестисливого матеріалу ( $\nu = 1/2$ ) задача зводиться до відшукання двох гармонічних функцій  $\Phi_{1,2}$ , які у сферичних координатах з урахуванням крайових умов (1), (2) і рівностей (3) мають задовільнити такі умови:

$$\frac{\partial \Phi_1}{\partial \varphi} \Big|_{\varphi=0} = 0, \quad \frac{\partial \Phi_2}{\partial \varphi} \Big|_{\varphi=\pi/2} = 0, \quad (5)$$

$$\sigma_x \Big|_{\varphi=\pi/2} = -\frac{1}{\rho \sin \theta} \left( \frac{\partial \Phi_1}{\partial \varphi} + \frac{\partial^2 \Phi_2}{\partial \varphi^2} \right) \Big|_{\varphi=\pi/2} = 0, \quad (6)$$

$$\sigma_y \Big|_{\varphi=0} = \frac{1}{\rho \sin \theta} \left( \frac{\partial \Phi_2}{\partial \varphi} - \frac{\partial^2 \Phi_1}{\partial \varphi^2} \right) \Big|_{\varphi=0} = 0, \quad 0 < \theta < \alpha \text{ або } \pi - \beta < \theta < \pi, \quad (7)$$

$$2G u_y \Big|_{\varphi=0} = \Phi_2 \Big|_{\varphi=0} = 0, \quad \alpha \leq \theta \leq \pi - \beta. \quad (8)$$

**3. Побудова гармонічних функцій.** Для відшукання невідомих гармонічних функцій  $\Phi_{1,2}$  подамо їх у вигляді інтегралів типу Мелера – Фока [9]

за функціями Лежандра  $P_{s-1/2}^{-\mu}(\cos \theta)$  [2]:

$$\begin{aligned} \Phi_1 &= \frac{\rho^{s-1/2}}{2\pi i} \int_{-i\infty}^{i\infty} \mu A_s^{(1)}(\mu) \cos(\mu\varphi) \Gamma\left(\frac{1}{2} + s + \mu\right) P_{s-1/2}^{-\mu}(\cos \theta) d\mu, \\ \Phi_2 &= \frac{\rho^{s-1/2}}{2\pi i} \int_{-i\infty}^{i\infty} \mu A_s^{(2)}(\mu) \cos\left(\mu\left(\varphi - \frac{\pi}{2}\right)\right) \Gamma\left(\frac{1}{2} + s + \mu\right) P_{s-1/2}^{-\mu}(\cos \theta) d\mu, \end{aligned} \quad (9)$$

$$A_s^{(1,2)}(\mu) = a_s^{(1,2)}(\mu) \cos\left(\frac{1}{2} + s + \mu\right) + b_s^{(1,2)}(\mu) \sin\left(\frac{1}{2} + s + \mu\right),$$

де  $a_s^{(1,2)}(\mu)$ ,  $b_s^{(1,2)}(\mu)$  – невідомі, парні за  $\mu$  функції,  $s$  – невідомий параметр, який вважаємо чисто уявним числом,  $\Gamma(\xi)$  – Г-функція Ейлера [2, 4]. При такому виборі функцій  $\Phi_{1,2}$  крайові умови (5) вже виконані. З умови (6) після підстановки зображеній (9) і застосування формул інтегральних перетворень типу Мелера – Фока [9] отримаємо

$$a_s^{(2)}(\mu) = -\frac{a_s^{(1)}(\mu)}{\mu} \sin \frac{\pi\mu}{2}, \quad b_s^{(2)}(\mu) = -\frac{b_s^{(1)}(\mu)}{\mu} \sin \frac{\pi\mu}{2}. \quad (10)$$

Підставивши розвинення (9) у змішані крайові умови (7), (8) і продовживши отримані рівності на весь проміжок  $0 < \theta < \pi$ , дістанемо

$$\begin{aligned} \frac{1}{2\pi i} \int_{-i\infty}^{i\infty} \mu A_s^{(1)}(\mu) \left( \mu^2 - \sin^2 \frac{\pi\mu}{2} \right) \Gamma\left(\frac{1}{2} + s + \mu\right) P_{s-1/2}^{-\mu}(\cos \theta) d\mu &= \\ &= \begin{cases} 0, & 0 < \theta < \alpha, \\ \tilde{\sigma}_s(\theta) \sin \theta, & \alpha < \theta < \pi - \beta, \\ 0, & \pi - \beta < \theta < \pi, \end{cases} \\ \frac{1}{2\pi i} \int_{-i\infty}^{i\infty} \mu A_s^{(1)}(\mu) \sin(\pi\mu) \Gamma\left(\frac{1}{2} + s + \mu\right) P_{s-1/2}^{-\mu}(\cos \theta) d\mu &= \\ &= \begin{cases} \tilde{u}_s^{(1)}(\theta), & 0 < \theta < \alpha, \\ 0, & \alpha < \theta < \pi - \beta, \\ \tilde{u}_s^{(2)}(\theta), & \pi - \beta < \theta < \pi, \end{cases} \end{aligned} \quad (11)$$

де  $\tilde{\sigma}_s(\theta)$  і  $\tilde{u}_s^{(1,2)}(\theta)$  – невідомі функції, що визначають нормальні напруження в площині тріщин і нормальні зміщення стінок тріщин, і які повинні задовільняти такі умови:

$$\begin{aligned}\tilde{\sigma}_s &\in C(\alpha < \theta < \pi - \beta), & \tilde{\sigma}_s(\theta) &\sim C \sin^{-1/2}(\theta - \alpha), & \theta \rightarrow \alpha + , \\ \tilde{\sigma}_s(\theta) &\sim C \sin^{-1/2}(\pi - \beta - \alpha), & \theta \rightarrow (\pi - \beta) - ; \\ \tilde{u}_s^{(1)} &\in C(0 \leq \theta \leq \alpha), & \tilde{u}_s^{(1)}(\theta) &\sim C \sin^{1/2}(\alpha - \theta), & \theta \rightarrow \alpha - , \\ \tilde{u}_s^{(2)} &\in C(\pi - \beta \leq \theta \leq \pi), & \tilde{u}_s^{(2)}(\theta) &\sim C \sin^{1/2}(\theta - \pi + \beta), & \theta \rightarrow (\theta - \pi) + .\end{aligned}\quad (12)$$

Застосувавши до рівностей (11) формули інтегрального перетворення типу Мелера – Фока [9] і використовуючи властивості функцій Лежандра [2], отримаємо рівності

$$\begin{aligned}\frac{\mu^2 - \sin^2(\pi\mu/2)}{\Gamma(1/2 - s + \mu)} &\left[ a_s^{(1)}(\mu) \cos \frac{\pi}{2} \left( \frac{1}{2} + s + \mu \right) - b_s^{(1)}(\mu) \sin \frac{\pi}{2} \left( \frac{1}{2} + s + \mu \right) \right] = \\ &= b_0^{-\mu} \frac{Y_s^{(1)}(\mu)}{\Gamma(1 + \mu)}, \\ \frac{\mu^2 - \sin^2(\pi\mu/2)}{\Gamma(1/2 - s + \mu)} &\left[ a_s^{(1)}(\mu) \cos \frac{\pi}{2} \left( \frac{1}{2} + s + \mu \right) + b_s^{(1)}(\mu) \sin \frac{\pi}{2} \left( \frac{1}{2} + s + \mu \right) \right] = \\ &= a_0^{-\mu} \frac{Y_s^{(2)}(\mu)}{\Gamma(1 + \mu)}, \\ \frac{\sin(\pi\mu)}{\Gamma(1/2 - s + \mu)} &\left[ a_s^{(1)}(\mu) \cos \frac{\pi}{2} \left( \frac{1}{2} + s + \mu \right) - b_s^{(1)}(\mu) \sin \frac{\pi}{2} \left( \frac{1}{2} + s + \mu \right) \right] = \\ &= a_0^\mu \frac{X_s^{(1)}(\mu)}{\Gamma(1 + \mu)} - \frac{1}{\sin(\pi\mu)} \left[ \cos(\pi s) b_0^\mu \frac{X_s^{(2)}(\mu)}{\Gamma(1 + \mu)} + \frac{\pi}{G_s(\mu)} b_0^{-\mu} \frac{X_s^{(2)}(-\mu)}{\Gamma(1 - \mu)} \right], \\ \frac{\sin(\pi\mu)}{\Gamma(1/2 - s + \mu)} &\left[ a_s^{(1)}(\mu) \cos \frac{\pi}{2} \left( \frac{1}{2} + s + \mu \right) + b_s^{(1)}(\mu) \sin \frac{\pi}{2} \left( \frac{1}{2} + s + \mu \right) \right] = \\ &= b_0^\mu \frac{X_s^{(2)}(\mu)}{\Gamma(1 + \mu)} - \frac{1}{\sin(\pi\mu)} \left[ \cos(\pi s) a_0^\mu \frac{X_s^{(1)}(\mu)}{\Gamma(1 + \mu)} + \frac{\pi}{G_s(\mu)} a_0^{-\mu} \frac{X_s^{(1)}(-\mu)}{\Gamma(1 - \mu)} \right],\end{aligned}\quad (13)$$

де  $a_0 = \operatorname{tg}(\alpha/2)$ ,  $b_0 = \operatorname{tg}(\beta/2)$ ,

$$\begin{aligned}Y_s^{(1)}(\mu) &= \int_{\alpha}^{\pi-\beta} \tilde{\sigma}_s(t) \left( \frac{\operatorname{tg} \frac{t}{2}}{\operatorname{ctg} \frac{\beta}{2}} \right)^\mu F \left( \frac{1}{2} - s; \frac{1}{2} + s; 1 + \mu; \sin^2 \frac{t}{2} \right) dt, \\ Y_s^{(2)}(\mu) &= \int_{\beta}^{\pi-\alpha} \tilde{\sigma}_s(\pi - \tau) \left( \frac{\operatorname{tg} \frac{\tau}{2}}{\operatorname{ctg} \frac{\alpha}{2}} \right)^\mu F \left( \frac{1}{2} - s; \frac{1}{2} + s; 1 + \mu; \sin^2 \frac{\tau}{2} \right) d\tau, \\ X_s^{(1)}(\mu) &= \mu \int_0^{\alpha} \frac{\tilde{u}_s^{(1)}(t)}{\sin t} \left( \frac{\operatorname{tg} \frac{t}{2}}{\operatorname{tg} \frac{\alpha}{2}} \right)^\mu F \left( \frac{1}{2} + s; \frac{1}{2} - s; 1 + \mu; \sin^2 \frac{t}{2} \right) dt, \\ X_s^{(2)}(\mu) &= \mu \int_0^{\beta} \frac{\tilde{u}_s^{(2)}(\pi - \tau)}{\sin \tau} \left( \frac{\operatorname{tg} \frac{\tau}{2}}{\operatorname{tg} \frac{\alpha}{2}} \right)^\mu F \left( \frac{1}{2} + s; \frac{1}{2} - s; 1 + \mu; \sin^2 \frac{\tau}{2} \right) d\tau,\end{aligned}$$

$Y_s^{(1,2)}(\mu)$ ,  $X_s^{(1,2)}(\mu)$  – невідомі функції комплексної змінної  $\mu$ ;  $F(a; b; c; \xi)$  – гіпергеометрична функція [2];  $G_s(\mu) = \Gamma(1/2 - s + \mu) \Gamma(1/2 + s + \mu)$ . Аналізуючи невідомі функції  $Y_s^{(1,2)}(\mu)$  та  $X_s^{(1,2)}(\mu)$  з урахуванням (12), можна зробити

висновок, що вони будуть аналітичними при  $\operatorname{Re} \mu > -1/2$ , при цьому з леми Ватсона [13] випливає, що при  $\mu \rightarrow \infty$  ці функції поводять себе, як  $C\mu^{-1/2}$ .

Вилучивши з отриманих рівностей (13) невідомі функції  $a_s^{(1)}(\mu)$  і  $b_s^{(1)}(\mu)$ , отримаємо систему функціональних рівнянь типу Вінера – Гопфа [7] відносно невідомих функцій  $Y_s^{(1,2)}(\mu)$  та  $X_s^{(1,2)}(\mu)$ :

$$(a_0 b_0)^\mu \sin(\pi\mu) \begin{bmatrix} X_s^{(1)}(\mu) \\ X_s^{(2)}(\mu) \end{bmatrix} - \cos(\pi s) \begin{bmatrix} b_0^{2\mu} X_s^{(2)}(\mu) \\ a_0^{2\mu} X_s^{(1)}(\mu) \end{bmatrix} + \frac{\sin^2(\pi\mu)}{\sin^2(\pi\mu/2) - \mu^2} \begin{bmatrix} Y_s^{(1)}(\mu) \\ Y_s^{(2)}(\mu) \end{bmatrix} = \frac{\pi}{G_s(\mu)} \frac{\Gamma(1+\mu)}{\Gamma(1-\mu)} \begin{bmatrix} X_s^{(2)}(-\mu) \\ X_s^{(1)}(-\mu) \end{bmatrix}, \quad (14)$$

яка справдіжується у смузі  $|\operatorname{Re} \mu| < 1/2$ .

До розв'язання системи (14) застосовуємо методику Вінера – Гопфа [7], основним кроком якої є факторизація коефіцієнта  $\frac{\sin^2(\pi\mu)}{\sin^2(\pi\mu/2) - \mu^2}$ , яка базується на розвиненні знаменника у нескінченний добуток [7]. Має місце рівність

$$\frac{\sin^2(\pi\mu)}{\sin^2(\pi\mu/2) - \mu^2} = \frac{\pi}{\pi^2/4 - 1} \cdot \frac{\mathcal{K}_+(\mu) \mathcal{K}_+(-\mu)}{\Gamma(1+\mu) \Gamma(1-\mu)}, \quad (15)$$

$$\mathcal{K}_+(\mu) = 2 \frac{\Gamma(3/2 + \mu/2)}{\Gamma(1 + \mu/2)} \cdot \frac{1}{L_+(\mu)}, \quad L_+(\mu) = \prod_{n=1}^{\infty} \frac{(1 + \mu/\lambda_n)(1 + \mu/\bar{\lambda}_n)}{1 + \mu/(2n+1)^2},$$

де  $\lambda_n$ ,  $n = 1, 2, \dots$ , – послідовність простих нулів функції  $\sin^2(\pi\mu/2) - \mu^2$ , розміщених у першій координатній чверті  $\{\operatorname{Re} \mu > 0, \operatorname{Im} \mu > 0\}$ , при цьому  $\lambda_n = 2n + 1 + i(2/\pi) \ln(4n+2) + o(1)$ ,  $n \rightarrow \infty$ . Використовуючи асимптотичні властивості Г-функції [2, 4] та нескінченних добутків [7], легко встановити, що  $\mathcal{K}_+(\mu) \sim C\mu^{1/2}$ ,  $\mu \rightarrow \infty$ .

Використовуючи факторизацію (15) та об'єднуючи разом функції, аналітичні у півплощині  $\operatorname{Re} \mu > -1/2$ , та функції, які аналітичні у півплощині  $\operatorname{Re} \mu > 1/2$ , отримуємо рівність

$$\begin{aligned} & \left[ \begin{bmatrix} \tilde{Y}_s^{(1)}(\mu) \\ \tilde{Y}_s^{(2)}(\mu) \end{bmatrix} + (a_0 b_0)^\mu \frac{\sin^2(\pi\mu/2) - \mu^2}{\sin(\pi\mu)} \begin{bmatrix} \tilde{X}_s^{(1)}(\mu) \\ \tilde{X}_s^{(2)}(\mu) \end{bmatrix} - \sum_{k=2}^{\infty} \frac{(-1)^k}{\pi} \frac{p_k}{\mu - k} (a_0 b_0)^k \begin{bmatrix} x_k^{(1)} \\ x_k^{(2)} \end{bmatrix} \right. \\ & \quad \left. - \cos(\pi s) \frac{\sin^2(\pi\mu/2) - \mu^2}{\sin^2(\pi\mu)} \begin{bmatrix} b_0^{2\mu} \tilde{X}_s^{(2)}(\mu) \\ a_0^{2\mu} \tilde{X}_s^{(1)}(\mu) \end{bmatrix} - \right. \\ & \quad \left. - \frac{2}{\pi^2} \frac{\cos(\pi s)}{\mu - 1} \begin{bmatrix} b_0^2 x_k^{(2)} \\ a_0^2 x_k^{(1)} \end{bmatrix} + \frac{\cos(\pi s)}{\pi^2} \sum_{k=2}^{\infty} \left\{ \frac{p_k}{(\mu - k)^2} \begin{bmatrix} b_0^{2k} x_k^{(2)} \\ a_0^{2k} x_k^{(1)} \end{bmatrix} + \right. \right. \\ & \quad \left. \left. + \frac{1}{\mu - k} \begin{bmatrix} b_0^{2k} [(p_k \ln b_0^2 - 2k)x_k^{(2)} + p_k y_k^{(2)}] \\ a_0^{2k} [(p_k \ln a_0^2 - 2k)x_k^{(1)} + p_k y_k^{(1)}] \end{bmatrix} \right\} = \right. \\ & = \frac{\pi^2/4 - 1}{\mathcal{K}_+^2(-\mu)} \frac{\Gamma^2(1-\mu)}{G_s(-\mu)} \begin{bmatrix} \tilde{X}_s^{(2)}(-\mu) \\ \tilde{X}_s^{(1)}(-\mu) \end{bmatrix} - \sum_{k=2}^{\infty} \frac{(-1)^k}{\pi} \frac{p_k}{\mu - k} (a_0 b_0)^k \begin{bmatrix} x_k^{(1)} \\ x_k^{(2)} \end{bmatrix} - \\ & \quad \left. - \frac{2}{\pi^2} \frac{\cos(\pi s)}{\mu - 1} \begin{bmatrix} b_0^2 x_k^{(2)} \\ a_0^2 x_k^{(1)} \end{bmatrix} + \frac{\cos(\pi s)}{\pi^2} \sum_{k=2}^{\infty} \left\{ \frac{p_k}{(\mu - k)^2} \begin{bmatrix} b_0^{2k} x_k^{(2)} \\ a_0^{2k} x_k^{(1)} \end{bmatrix} + \right. \right. \\ & \quad \left. \left. + \frac{1}{\mu - k} \begin{bmatrix} b_0^{2k} [(p_k \ln b_0^2 - 2k)x_k^{(2)} + p_k y_k^{(2)}] \\ a_0^{2k} [(p_k \ln a_0^2 - 2k)x_k^{(1)} + p_k y_k^{(1)}] \end{bmatrix} \right\}, \quad |\operatorname{Re} \mu| < 1/2, \quad (16) \right. \end{aligned}$$

де для зручності введено нові невідомі функції

$$\begin{bmatrix} \tilde{X}_s^{(1,2)}(\mu) \\ \tilde{Y}_s^{(1,2)}(\mu) \end{bmatrix} = \mathcal{K}_+(\mu) \frac{G_s(\mu)}{\Gamma^2(1+\mu)} \begin{bmatrix} X_s^{(1,2)}(\mu) \\ Y_s^{(1,2)}(\mu) \end{bmatrix}, \quad (17)$$

аналітичні при  $\operatorname{Re} \mu > -1/2$ , які при  $\mu \rightarrow \infty$  поводять себе, як  $C\mu^{-1}$ , та використано такі позначення:

$$\begin{aligned} x_k^{(1,2)} &= x_k^{(1,2)}(s) = \tilde{X}_s^{(1,2)}(k), & k = 1, 2, \dots, \\ y_k^{(1,2)} &= y_k^{(1,2)}(s) = (\tilde{X}_s^{(1,2)})'(k), & k = 2, 3, \dots, \\ p_k &= \sin^2(\pi k/2) - k^2, & k = 2, 3, \dots. \end{aligned} \quad (18)$$

Для невідомих величин  $x_k^{(1,2)}$ ,  $y_k^{(1,2)}$ , введених рівностями (18), використовуючи асимптотичні властивості функцій  $\tilde{X}_s^{(1,2)}(\mu)$ , легко встановити поведінку:

$$\begin{aligned} x_k^{(1,2)} &= x_k^{(1,2)}(s) = C_{1,2}(s)/k + O(k^{-2}), & k \rightarrow \infty, \\ y_k^{(1,2)} &= y_k^{(1,2)}(s) = O(k^{-2}), & k \rightarrow \infty. \end{aligned} \quad (19)$$

Враховуючи цю поведінку, отримаємо, що ряди, які входять до (16), будуть збіжними, якщо параметри  $a_0$  та  $b_0$  задовольняють умову  $0 < a_0, b_0 < 1$ . Згадавши, що  $a_0 = \operatorname{tg}(\alpha/2)$ , а  $b_0 = \operatorname{tg}(\beta/2)$ , отримаємо, що застосований підхід справдіється лише для гострих кутів занурення ребер тріщин  $\alpha$  і  $\beta$  (див. рис. 1), тобто  $0 < \alpha, \beta < \pi/2$ .

Додаткові доданки в рівності (16) введені так, щоб ліва частина була аналітичною у півплощині  $\operatorname{Re} \mu > 1/2$ , а права – у півплощині  $\operatorname{Re} \mu < -1/2$ . При цьому обидві частини рівності (16) в областях їх аналітичності при  $\mu \rightarrow \infty$  прямають до нуля. Тоді з принципу аналітичного продовження і теореми Ліувілля [7] випливає, що ліва та права частини рівності (16) мають дорівнювати нулеві. Отриманий факт дозволяє записати рівності, які визначають невідомі функції  $\tilde{X}_s^{(1,2)}(\mu)$  та  $\tilde{Y}_s^{(1,2)}(\mu)$ . Прирівнявши праву частину (16) до нуля та зробивши заміну аргументу  $\mu$  на  $(-\mu)$ , отримаємо рівність для визначення невідомої функції  $\tilde{X}_s^{(1,2)}(\mu)$ :

$$\begin{aligned} &\frac{\pi^2/4 - 1}{\mathcal{K}_+^2(\mu)} \cdot \frac{\Gamma^2(1+\mu)}{G_s(\mu)} \begin{bmatrix} \tilde{X}_s^{(2)}(\mu) \\ \tilde{X}_s^{(1)}(\mu) \end{bmatrix} + \sum_{k=2}^{\infty} \frac{(-1)^k}{\pi} \frac{p_k}{\mu+k} (a_0 b_0)^k \begin{bmatrix} x_k^{(1)} \\ x_k^{(2)} \end{bmatrix} + \\ &+ \frac{2}{\pi^2} \frac{\cos(\pi s)}{\mu+1} \begin{bmatrix} b_0^2 x_k^{(2)} \\ a_0^2 x_k^{(1)} \end{bmatrix} + \frac{\cos(\pi s)}{\pi^2} \sum_{k=2}^{\infty} \left\{ \frac{p_k}{(\mu+k)^2} \begin{bmatrix} b_0^{2k} x_k^{(2)} \\ a_0^{2k} x_k^{(1)} \end{bmatrix} - \right. \\ &\left. - \frac{1}{\mu+k} \begin{bmatrix} b_0^{2k} [(p_k \ln b_0^2 - 2k) x_k^{(2)} + p_k y_k^{(2)}] \\ a_0^{2k} [(p_k \ln a_0^2 - 2k) x_k^{(1)} + p_k y_k^{(1)}] \end{bmatrix} \right\} = 0, \quad |\operatorname{Re} \mu| < 1/2. \quad (20) \end{aligned}$$

Аналогічну рівність отримуємо і для функцій  $\tilde{Y}_s^{(1,2)}(\mu)$ .

Для повного визначення функції  $\tilde{X}_s^{(1,2)}(\mu)$  з рівності (20) потрібно знайти невідомі величини  $x_k^{(1,2)}$ ,  $k = 1, 2, \dots$ ,  $y_k^{(1,2)}$ ,  $k = 2, 3, \dots$ . Враховуючи позначення (18), для їх знаходження, по-перше, послідовно покладемо в (20)  $\mu = m = 1, 2, \dots$ , а по-друге, продиференціюємо (20) за  $\mu$  і в отриманій рівності послідовно покладемо  $\mu = m = 2, 3, \dots$ . Внаслідок цього отримаємо нескінченну систему лінійних алгебраїчних рівнянь відносно шуканих невідомих:

$$\begin{aligned}
A_m(s) \begin{bmatrix} x_m^{(2)} \\ x_m^{(1)} \end{bmatrix} + \sum_{k=2}^{\infty} \frac{(-1)^k}{\pi} \cdot \frac{p_k}{m+k} \cdot (a_0 b_0)^k \begin{bmatrix} x_k^{(1)} \\ x_k^{(2)} \end{bmatrix} + \\
+ \frac{\cos(\pi s)}{\pi^2} \cdot \frac{2}{m+1} \begin{bmatrix} b_0^2 x_k^{(2)} \\ a_0^2 x_k^{(1)} \end{bmatrix} + \frac{\cos(\pi s)}{\pi^2} \sum_{k=2}^{\infty} \frac{p_k}{(m+k)^2} \begin{bmatrix} b_0^{2k} x_k^{(2)} \\ a_0^{2k} x_k^{(1)} \end{bmatrix} - \\
- \frac{\cos(\pi s)}{\pi^2} \sum_{k=2}^{\infty} \frac{1}{m+k} \begin{bmatrix} b_0^{2k} [(p_k \ln b_0^2 - 2k) x_k^{(2)} + p_k y_k^{(2)}] \\ a_0^{2k} [(p_k \ln a_0^2 - 2k) x_k^{(1)} + p_k y_k^{(1)}] \end{bmatrix} = 0, \quad m = 1, 2, \dots, \\
A_m(s) \begin{bmatrix} y_m^{(2)} \\ y_m^{(1)} \end{bmatrix} + A_m(s) B_m(s) \begin{bmatrix} x_m^{(2)} \\ x_m^{(1)} \end{bmatrix} - \sum_{k=2}^{\infty} \frac{(-1)^k}{\pi} \cdot \frac{p_k}{(m+k)^2} \cdot (a_0 b_0)^k \begin{bmatrix} x_k^{(1)} \\ x_k^{(2)} \end{bmatrix} - \\
- \frac{\cos(\pi s)}{\pi^2} \frac{2}{(m+1)^2} \begin{bmatrix} b_0^2 x_k^{(2)} \\ a_0^2 x_k^{(1)} \end{bmatrix} - \frac{\cos(\pi s)}{\pi^2} \sum_{k=2}^{\infty} \frac{2p_k}{(m+k)^3} \begin{bmatrix} b_0^{2k} x_k^{(2)} \\ a_0^{2k} x_k^{(1)} \end{bmatrix} + \\
+ \frac{\cos(\pi s)}{\pi^2} \sum_{k=2}^{\infty} \frac{1}{(m+k)^2} \begin{bmatrix} b_0^{2k} [(p_k \ln b_0^2 - 2k) x_k^{(2)} + p_k y_k^{(2)}] \\ a_0^{2k} [(p_k \ln a_0^2 - 2k) x_k^{(1)} + p_k y_k^{(1)}] \end{bmatrix} = 0, \quad m = 2, 3, \dots, \quad (21)
\end{aligned}$$

де використовуються такі позначення:

$$\begin{aligned}
A_m(s) &= \frac{\pi^2/4 - 1}{\mathcal{K}_+^2(m)} \cdot \frac{\Gamma^2(1+m)}{G_s(m)}, \\
B_m(s) &= 2\Psi(1+m) - \Psi\left(\frac{1}{2} - s + m\right) - \Psi\left(\frac{1}{2} + s + m\right) + \\
&\quad + \Psi\left(1 + \frac{m}{2}\right) - \Psi\left(\frac{3}{2} + \frac{m}{2}\right) - 4 \sum_{n=1}^{\infty} \left( \frac{1}{2n+1+m} - \operatorname{Re} \frac{1}{\lambda_n + m} \right).
\end{aligned}$$

Аналізуючи властивості отриманої нескінченної системи (21), отримаємо, що при кожному фіксованому комплексному  $s$  ця система є квазі-цілком регулярною.

Визначимо шукані гармонічні функції  $\Phi_{1,2}$  через розв'язки системи (21). Використовуючи подання (9), зв'язок (10), останню з рівностей (13) і позначення (17), отримаємо

$$\begin{aligned}
\Phi_1 &= \frac{\rho^{s-1/2}}{2\pi i} \int_{-i\infty}^{i\infty} \mu \frac{\cos(\mu\varphi)}{\sin(\pi\mu)} \cdot \frac{\Gamma(1+\mu)}{\mathcal{K}_+(\mu)} \left[ b_0^\mu \tilde{X}_s^{(2)}(\mu) P_{s-1/2}^{-\mu}(\cos\theta) + \right. \\
&\quad \left. + a_0^\mu \tilde{X}_s^{(1)}(\mu) P_{s-1/2}^{-\mu}(-\cos\theta) \right] d\mu, \\
\Phi_2 &= -\frac{\rho^{s-1/2}}{2\pi i} \int_{-i\infty}^{i\infty} \frac{\cos[\mu(\varphi - \pi/2)]}{2\cos(\pi\mu/2)} \cdot \frac{\Gamma(1+\mu)}{\mathcal{K}_+(\mu)} \left[ b_0^\mu \tilde{X}_s^{(2)}(\mu) P_{s-1/2}^{-\mu}(\cos\theta) + \right. \\
&\quad \left. + a_0^\mu \tilde{X}_s^{(1)}(\mu) P_{s-1/2}^{-\mu}(-\cos\theta) \right] d\mu.
\end{aligned}$$

При  $\alpha < \theta < \pi - \beta$  інтеграли в останніх рівностях можна порахувати, якщо замкнути контур інтегрування у півплощині  $\operatorname{Re} \mu > 0$  та обчислити суму лишків у простих полюсах підінтегральних виразів. В результаті, враховуючи позначення (18), отримаємо

$$\begin{aligned}
\Phi_1 &= -\rho^{s-1/2} \sum_{k=1}^{\infty} \frac{(-1)^k}{\pi} k \cos(k\varphi) \cdot \frac{\Gamma(k+1)}{\mathcal{K}_+(k)} \left[ b_0^k x_k^{(2)}(s) P_{s-1/2}^{-k}(\cos\theta) + \right. \\
&\quad \left. + a_0^k x_k^{(1)}(s) P_{s-1/2}^{-k}(-\cos\theta) \right],
\end{aligned}$$

$$\begin{aligned}\Phi_2 = -\rho^{s-1/2} \sum_{k=1}^{\infty} \frac{\sin[(2k-1)\varphi]}{\pi} \cdot \frac{\Gamma(2k)}{\mathcal{K}_+(2k-1)} & \left[ b_0^{2k-1} x_{2k-1}^{(2)}(s) P_{s-1/2}^{-2k+1}(\cos\theta) + \right. \\ & \left. + a_0^{2k-1} x_{2k-1}^{(1)}(s) P_{s-1/2}^{-2k+1}(-\cos\theta) \right], \\ \rho > 0, \quad \alpha < \theta < \pi - \beta, \quad 0 \leq \varphi \leq \pi/2. \end{aligned} \quad (22)$$

Аналогічні зображення можна отримати і на інтервалах  $0 < \theta < \alpha$ ,  $\pi - \beta < \theta < \pi$ .

До цього часу ми вважали, що параметр  $s$  є чисто уявним числом, але, враховуючи те, що  $x_k^{(1,2)}$  є розв'язками нескінченної системи (21), квазі-цилком регулярної при кожному комплексному  $s$ , зображення (22) можна аналітично продовжити з уявної осі на всю комплексну площину  $s$ . Нагадаємо, що однорідні розв'язки мають бути нетривіальними розв'язками вихідної задачі. З рівності (22) випливає, що функції  $\Phi_{1,2}$  будуть відмінними від того жного нуля лише у випадку, коли система (21) має нетривіальний розв'язок. Оскільки система (21) є однорідною системою, то це можливе лише у випадку, коли її основний визначник перетворюється в нуль, що дає можливість знайти можливі значення параметра  $s$ . Нулі визначника нескінченної системи (21) шукали чисельно шляхом редукції системи до скінченої.

**4. Аналіз розподілу напружень.** Найбільший інтерес становить вивчення розподілу напружень в околі вершини тріщин, точки  $O$  (див. рис. 1). З рівності (4), зображення (22) гармонічних функцій  $\Phi_{1,2}$  випливає, що у випадку нестисливого матеріалу в площині розташування тріщин ( $y = 0$  або  $\varphi = 0$ ) для нормальних напружень можливе таке подання через однорідні розв'язки:

$$\begin{aligned}\sigma_y|_{\varphi=0} = \frac{\rho^{s-3/2}}{\sin\theta} \sum_{k=2}^{\infty} \frac{(-1)^k}{\pi} k \left( \sin^2 \frac{\pi k}{2} - k^2 \right) \frac{\Gamma(1+k)}{\mathcal{K}_+(k)} & \left[ b_0^k x_k^{(2)}(s) P_{s-1/2}^{-k}(\cos\theta) + \right. \\ & \left. + a_0^k x_k^{(1)}(s) P_{s-1/2}^{-k}(-\cos\theta) \right], \quad \alpha < \theta < \pi - \beta. \end{aligned} \quad (23)$$

З отриманої рівності (23) випливає, що при наближенні до точки  $O$  ( $\rho \rightarrow 0+$ ,  $\theta$  – фіксоване) розподіл напружень визначається додатними нулями визначника нескінченної системи (21). Чисельний аналіз системи показав, що розподіл нулів її визначника, а як наслідок – і характер поведінки напружень, суттєво залежить від кутів  $\alpha$  та  $\beta$  занурення ребер тріщин у півпростір. Якщо співвідношення між кутами  $\alpha$  та  $\beta$  таке, що точка з координатами  $(\alpha/\pi, \beta/\pi)$  попадає в область  $D_1$  (рис. 2), то визначник системи (21) має найменші додатні нулі в точках  $s = 3/2$  та

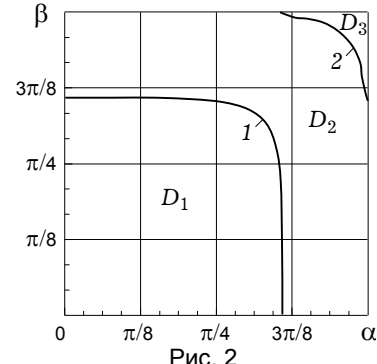


Рис. 2

$s = s_1 > 3/2$ , причому ці нулі прості. Якщо подати розв'язок задачі у вигляді суперпозиції однорідних розв'язків, то в цьому випадку нормальні напруження при підході до вершини тріщин поводять себе таким чином:

$$\sigma_y|_{\varphi=0} \sim K_0(\theta) + K_1(\theta) \rho^\gamma, \quad \rho \rightarrow 0+, \quad \alpha < \theta < \pi - \beta, \quad (24)$$

де  $\gamma = s_1 - 3/2 > 0$ , тобто напруження залишаються обмеженими, в вершині тріщин немає концентрації напружень.

Якщо точка з координатами  $(\alpha/\pi, \beta/\pi)$  попадає на криву 1 (див. рис. 2), то визначник системи (21) має нуль другого порядку в точці  $s = s_1 = 3/2$ . Тоді в цьому випадку напруження в вершині тріщин мають логарифмічну особливість

$$\sigma_y \Big|_{\varphi=0} \sim K_0(\theta) + K_1(\theta) \ln \rho, \quad \rho \rightarrow 0+, \quad \alpha < \theta < \pi - \beta.$$

Якщо ж точка  $(\alpha/\pi, \beta/\pi)$  попадає в область  $D_2$ , на криву 2 або в область  $D_3$  (див. рис. 2), то визначник системи (21) має найменші нулі в точках  $s = s_1 \in (1/2, 3/2)$  та  $s = 3/2$ , і ці нулі знову прості. Тоді характер розподілу напружень при підході до точки О теж визначається рівністю (24), але в цьому випадку  $\gamma = s_1 - 3/2 < 0$ , тобто напруження мають локальну степеневу особливість у вершині тріщин. Якщо кути  $\alpha$  та  $\beta$  такі, що точка  $(\alpha/\pi, \beta/\pi)$  лежить в області  $D_2$  (див. рис. 2), то особливість у вершині є слабшою від класичної кореневої, яка має місце на ребрах тріщин. Якщо точка  $(\alpha/\pi, \beta/\pi)$  лежить на кривій 2 (див. рис. 2), то особливість у вершині буде класичною кореневою, тобто такою самою, що й на ребрах. Нарешті, якщо точка  $(\alpha/\pi, \beta/\pi)$  лежить в області  $D_3$  (див. рис. 2), то особливість у вершині є сильнішою від особливості на ребрах тріщин.

Числові значення показника особливості  $\gamma$  в залежності від кутів  $\alpha$  і  $\beta$  наведено у табл. 1.

Таблиця 1

$\alpha/\pi \backslash \beta/\pi$	0	0.1	0.2	0.3	0.4	0.49
0	1.0	0.9914	0.73245	0.2101	-0.1189	-0.3758
0.1	0.9914	0.98315	0.73045	0.20975	-0.1192	-0.3763
0.2	0.73245	0.73045	0.64785	0.2022	-0.12415	-0.3838
0.3	0.2101	0.20975	0.2022	0.10815	-0.15625	-0.42025
0.4	-0.1189	-0.1192	-0.12415	-0.15625	-0.28115	-0.52725
0.49	-0.3758	-0.3763	-0.3838	-0.42025	-0.52725	-

Наприкінці зауважимо, що у випадку, коли  $\alpha = 0$  або  $\beta = 0$ , у півпросторі розміщена одна V-подібна приповерхнева тріщина. Ця задача детально вивчалась в літературі [3, 5, 14–19]. Результати, отримані в цій роботі, повністю узгоджуються з результатами, отриманими раніше.

1. Андрейків А. Е. Пространственные задачи теории трещин. – Київ: Наук. думка, 1982. – 348 с.
2. Бейтмен Г., Эрдейи А. Высшие трансцендентные функции: В 3 т. – Т. 1. – Гипергеометрическая функция. Функции Лежандра. – Москва: Наука, 1965. – 294 с.
3. Глушков Е. В., Глушкова Н. В., Лапіна О. Н. Показатели сингулярности упругих напряжений в точке выхода трещини на поверхность // Изв. РАН. Механика твердого тела. – 1998. – № 5. – С. 146–153.
4. Лебедев Н. Н. Специальные функции и их приложения. – Москва: Физматгиз, 1963. – 379 с.
5. Ловейкин А. В., Улитко А. Ф. Анализ напряженно-деформированного состояния в несжимаемом полупространстве с приповерхностной клиновидной трещиной // Изв. РАН. Механика твердого тела. – 2006. – № 1. – С. 136–148.
6. Ловейкин А. В., Улитко А. Ф. О распределении напряжений в упругом пространстве, ослабленном двумя клиновидными разрезами, лежащими в одной плоскости // Изв. РАН. Механика твердого тела. – 2004. – № 1. – С. 40–49.

7. Нобл Б. Метод Винера – Хопфа. – Москва: Изд-во иностр. лит., 1968. – 279 с.
8. Панасюк В. В., Андрейків А. Е., Стадник М. М. Пространственные задачи теории трещин: (Обзор). Ч. 1. Основные механические концепции и математические методы в пространственных задачах теории трещин // Физ.-хим. механика материалов. – 1979. – **15**, № 4. – С. 39–55.
9. Парфенеко Д. М., Улітко А. Ф. Об одном новом интегральном преобразовании и использовании его в контактных задачах теории упругости // Докл. АН УССР. Сер. А. – 1988. – № 11. – С. 53–58.
10. Улітко А. Ф., Ловейкін А. В. Задача про визначення напружень у пружному просторі з двома клиноподібними розрізами, розміщеними в одній площині // Мат. методи та фіз.-мех. поля. – 2001. – **44**, № 4. – С. 70–76.
11. Улітко А. Ф., Ловейкін А. В. Задача про рівновагу простору з двома розрізами – по півплощині та клиноподібним у плані, які лежать в одній площині // Мат. методи та фіз.-мех. поля. – 2000. – **43**, № 1. – С. 109–114.
12. Уфлянд Я. С. Интегральные преобразования в задачах теории упругости. – Ленинград: Наука, 1967. – 402 с.
13. Федорюк В. Ф. Асимптотика: интегралы и ряды. – Москва: Наука, 1987. – 544 с.
14. Bažant Z. P., Estenssoro L. F. Surface singularity and crack propagation // Int. J. Solids Struct. – 1979. – **15**, No. 4. – P. 405–426.
15. Bentem J. P. State of stress at the vertex of a quarter-infinite crack in a half-space // Int. J. Solids Struct. – 1977. – **13**, No. 5. – P. 479–492.
16. Bentem J. P. The quarter-infinite crack in a half-space: Alternative and additional solutions // Int. J. Solids Struct. – 1980. – **16**. – P. 119–130.
17. Folias E. S. On the 3-dimencional theory of cracked plates // Trans. ASME. J. Appl. Mech. – 1975. – **42**, No. 3. – P. 663–674.
18. Ghahremani F., Shih C. F. Corner singularities of 3-dimencional planar interface crack // Trans. ASME. J. Appl. Mech. – 1992. – **59**, No. 1. – P. 61–68.
19. Sinclair G. B. Stress singularities in classical elasticity-II: Asymptotic identification // Appl. Mech. Rev. – 2004. – **57**, No. 5. – P. 385–439.

**РАВНОВЕСИЕ НЕСЖИМАЕМОГО ПОЛУПРОСТРАНСТВА,  
ОСЛАБЛЕННОГО ДВУМЯ V-ПОДОБНЫМИ ПРИПОВЕРХНОСТНЫМИ  
ТРЕЩИНАМИ, ИМЕЮЩИМИ ОБЩУЮ ВЕРШИНУ**

Рассмотрена задача об определении характера поведения напряжений в несжимаемом полупространстве с двумя приповерхностными V-подобными (клиноподобными) трещинами, которые имеют общую вершину и лежат в плоскости, перпендикулярной поверхности полупространства. Используя полученные результаты, установлено, что локальное поведение напряжений при подходе к вершине трещин существенно зависит от геометрических параметров трещин.

**EQUILIBRIUM OF INCOMPRESSIBLE HALF-SPACE WEAKENED BY TWO  
V-SHAPED SURFACE CRACKS THAT HAVE THE SAME TIP**

*This paper deals with the problem of stress singularity definition in the incompressible half-space with two V-shaped surface cracks that have the same tip and lie in the plane that is perpendicular to the half-space surface. The results obtained in the paper give us the conclusion that the local stress behavior near the cracks' tip depends on the cracks geometrical parameters essentially.*

Київ. нац. ун-т ім. Тараса Шевченка, Київ

Одержано  
26.11.06